

Сделаем некоторые окончательные замечания. Как показывают результаты пп. 1 и 2, выделенные в п. 3 классы структур, для которых могут быть получены соотношения Крамерса—Кронига, вряд ли могут быть существенно расширены. Условия на гладкость функции $n(z)$ являются существенными для получения выписанных выше соотношений. Любые разрывы показателя преломления приведут к изменению асимптотики амплитудного коэффициента отражения и соответственно к изменению выписанных соотношений Крамерса—Кронига.

ЛИТЕРАТУРА

- [1] Аркатова Т. Г., Гопштейн Н. М., Макарова Е. Г., Михайлов Б. А. // *Оптико-механическая промышленность*. 1981. № 9. С. 44. [2] Дидрикуль Л. Н. // *Журн. прикл. спектр.* 1975. 23, № 5. С. 920. [3] Lévêque G., Villachon-Repard Y. // *Appl. Opt.* 1990. 29, N 22. P. 3207. [4] Grosse P., Offerman V. // *J. Appl. Phys.* 1991. A52. P. 138. [5] Hagbeke V. // *J. Appl. Phys.* 1986. A40. P. 151. [6] Ландау Л. Д., Лифшиц Е. М. *Электродинамика сплошных сред*. М., 1982. С. 386. [7] Нусенцвейг Х. М. *Причинность и дисперсионные соотношения*. М., 1976. [8] Тихонравов А. В. // *ЖВМ и МФ*. 1983. 25, № 3. С. 442. [9] Тихонравов А. В. // *ЖВМ и МФ*. 1982. 22, № 6. С. 1421. [10] Розенберг Г. В. *Оптика тонкослойных покрытий*. М., 1958. [11] Тихонравов А. В. // *Компьютерная оптика: Сб. МЦНТИ*. М., 1990. № 7. С. 33. [12] Кард П. Г. *Анализ и синтез многослойных интерференционных пленок*. Таллин. 1971.

Поступила в редакцию
15.06.92

ВЕСТН. МОСК. УН-ТА. СЕР. 3, ФИЗИКА. АСТРОНОМИЯ. 1993. Т. 34, № 4

УДК 621.378.325

ВНУТРИРЕЗОНАТОРНАЯ ГЕНЕРАЦИЯ ВТОРОЙ ГАРМОНИКИ В ЛАЗЕРАХ С АНИЗОТРОПНЫМИ РЕЗОНАТОРАМИ

О. Е. Наний, М. Р. Палеев
(кафедра оптики и спектроскопии)

Построена теоретическая модель, описывающая генерацию твердотельных лазеров с внутриврезонаторным преобразованием излучения во вторую гармонику в кристаллах с волновым синхронизмом II типа. Исследованы области существования стационарных и нестационарных режимов генерации.

Введение

Современные достижения в области разработки малогабаритных твердотельных лазеров с торцевой накачкой полупроводниковыми лазерами привели к появлению нового поколения миниатюрных твердотельных лазеров ближнего ИК-диапазона с узкой линией излучения, высоким КПД, хорошей технологичностью и надежностью [1—4]. Преобразование излучения таких лазеров в видимый диапазон путем генерации второй гармоники в нелинейных кристаллах существенно расширяет области практического применения твердотельных лазеров. Наибольшие мощность и КПД преобразования излучения непрерывных твердотельных лазеров с полупроводниковой накачкой в видимый диапазон достигаются при внутриврезонаторной генерации второй гармоники (ВРГВГ) [5—7].

Однако временная зависимость выходной мощности твердотельных лазеров в многомодовых режимах ВРГВГ имеет вид глубоких хаотических пульсаций, что получило даже наименование «зеленой проблемы» [8]. Теоретический анализ, проведенный в работах [6, 9], показал, что причиной возникновения динамического хаоса является конкурентное взаимодействие мод при генерации суммарных частот в нелинейном кристалле. При этом число генерируемых мод должно быть не меньше трех. В работах [10, 11] обращено внимание на то, что хаотические колебания возникают при неэквидистантном расположении мод, в то время как при эквидистантном расположении мод существен учет их комбинационного взаимодействия, которое при определенных условиях вызывает синхронизацию мод и способствует стабилизации режима генерации [10]. В работах [12, 13] отмечалось, что ВРГВГ способствует стабилизации двунаправленных режимов генерации в твердотельных кольцевых лазерах в тех случаях, когда устраняется пространственно неоднородное выжигание инверсной населенности активной среды.

Анализ, проведенный в указанных выше работах, не учитывал векторный характер световых волн и, строго говоря, применим для ВРГВГ с использованием кристаллов, в которых осуществляется волновой синхронизм I типа, а поляризации всех мод линейные коллинеарные. В то же время в экспериментах широкое распространение получил высокоэффективный нелинейный кристалл *КТР*, в котором имеет место волновой синхронизм II типа. При описании ВРГВГ с использованием кристаллов *КТР* учет поляризации обязателен. В настоящее время нам известна только одна работа, в которой проанализировано влияние свойств резонатора на характеристики таких лазеров [9]. Однако часть из упрощающих предположений статьи [9], как правило, не выполняется в эксперименте. В частности, это касается предположения о том, что при взаимодействии мод разных поляризаций потери на ВРГВГ оказываются такими же, как и при взаимодействии мод одной поляризации. Кроме того, ранее не учитывалось неравенство коэффициентов кросс-насыщения мод разных поляризаций.

Целью настоящей работы является построение теоретической модели, адекватно описывающей генерацию твердотельных лазеров с ВРГВГ при волновом синхронизме II типа и анализ важнейшего с практической точки зрения класса резонаторов, в которых помимо нелинейного кристалла содержится четвертьволновая пластинка, обеспечивающая стабилизацию режима генерации. Исследованы области существования одно-, дву-, трех- и четырехчастотных режимов. Показано, что хаотические режимы генерации в исследуемом типе лазеров могут быть получены даже при малых превышениях накачки над порогом.

Система уравнений

Согласно [9] в резонаторе лазера, содержащего четвертьволновую пластинку, кристалл *КТР* и изотропный активный элемент, могут существовать моды двух поляризаций:

$$E(\omega_i) = E_i \exp\{i\omega_i t\} \begin{bmatrix} B_i \\ C_i \end{bmatrix} \frac{1}{\sqrt{B_i^2 + C_i^2}}; \quad i = 0, 1.$$

Здесь E_i , ω_i — комплексные амплитуды и частоты мод; $B_0 = \cos 2\varphi \times \cos \delta + (\cos^2 2\varphi \cdot \cos^2 \delta + \sin^2 2\varphi)^{1/2}$; $C_0 = \sin 2\varphi$; $B_1 = \{\cos 2\varphi \cdot \cos \delta -$

— $(\cos^2 2\varphi \cdot \cos^2 \delta + \sin^2 2\varphi)^{1/2} / \sin 2\varphi$; $C_1 = 1$; φ — угол между «необыкновенной» осью кристалла КТП и «быстрой» осью четвертьволновой пластинки; δ — разность набега фаз «обыкновенной» и «необыкновенной» волн основной частоты за один проход кристалла КТП.

Мы будем полагать, что в лазере могут существовать по две моды каждой поляризации:

$$E(\omega_i^{(k)}) = E_i^{(k)} \exp\{i\omega_i^{(k)} t\} \left[\frac{B_i}{C_i} \right] \frac{1}{\sqrt{B_i^2 + C_i^2}}, \quad i, k = 0, 1.$$

Положим, что нумерация мод одной поляризации (k) не связана с аналогичной нумерацией мод другой поляризации: безразлично, какой из мод данной поляризации приписать индекс $k=0$, а какой $k=1$. Аналогично тому, как это делалось в [9], можем получить выражения для интенсивности сигнала второй гармоники:

$$I_{sh} = \langle P \cdot P^* \rangle = \frac{d_{eff}}{4} \left\{ g \sum_{i,k} J_i^{(k)2} + 4g \sum_{i,k} J_i^{(k)} J_i^{(ka)} + 4(1-g) \sum_{i,k,K} J_i^{(k)} J_{ia}^{(K)} \right\},$$

$$i, k, K = 0, 1; ia = 1 - i; ka = 1 - k.$$

Здесь $J_i^{(k)} = E_i^{(k)} E_i^{(k)*}$; d_{eff} — эффективный коэффициент преобразования во вторую гармонику в КТП; $g = 4B_1^2 C_1^2 / (B_1^2 + C_1^2)^2$.

С учетом выражения для I_{sh} уравнения для $J_i^{(k)}$ приобретают вид

$$\tau_c \frac{dJ_i^{(k)}}{dt} = J_i^{(k)} \left[N_i^{(k)} - \alpha_i^{(k)} - g e J_i^{(k)} - 2g e J_i^{(ka)} - 2(1-g) \kappa \sum_k J_{ia}^{(K)} \right], \quad (1)$$

$$i, k, K = 0, 1; ia = 1 - i; ka = 1 - k.$$

Здесь $N_i^{(k)}$ — коэффициент усиления активной средой k -й моды i -й поляризации; $\alpha_i^{(k)}$ — линейные потери этой моды (за проход); τ_c — время обхода резонатора; $\kappa = d_{eff}^2 / (4\epsilon_0 e D^2)$; D — характерный для кристалла КТП атомный размер.

Потери, обусловленные взаимодействием с модами другой поляризации (последний член), существенно отличаются от потерь, обусловленных взаимодействием с модами той же поляризации (предпоследний член). Это обстоятельство никак не отражено в уравнениях, полученных в [9], где считалось, что взаимодействие со всеми модами описывается членом, аналогичным последнему члену формулы (1).

Обратим внимание, что при $g=1$ ($\varphi = \pi/4$) связь мод одной поляризации оказывается наиболее сильной, а моды разных поляризаций оказываются не связанными; при $g=0$ ($\varphi = \pi/2$) имеет место обратная ситуация.

Уравнения (1) необходимо дополнить уравнениями для $N_i^{(k)}$:

$$\tau_f \frac{dN_i^{(k)}}{dt} = N_i^{0(k)} - N_i^{(k)} \left[1 + \sum_{i,K} \beta_{i,k}^{i,K} J_i^{(K)} \right]; \quad i, k = 0, 1. \quad (2)$$

Здесь $N_i^{0(k)}$ — коэффициент усиления слабого сигнала (ненасыщенный коэффициент усиления) k -й моды i -й поляризации; τ_f — время продольной релаксации активной среды; $\beta_{i,k}^{i,K}$ — коэффициенты кросс-насыщения (и самонасыщения — при $i=j, K=k$).

Система (1), (2) совпадает с системой, полученной в [9], только при $k=0$, т. е. в случае двух мод (по одной моде каждой поляризации). После обезразмеривания система (1), (2) запишется в виде

$$\frac{dI_i^{(k)}}{d\tau} = I_i^{(k)} [G_i^{(k)} - a_i^{(k)} - geI_i^{(k)} - 2geI_i^{(ka)} - 2(1-g)e(I_{ia}^{(k)} + I_{ia}^{(ka)})], \quad (3)$$

$$\frac{dG_i^{(k)}}{d\tau} = G_i^{(k)} - G_i^{(k)} \left[1 + \sum_{i,K} b_{i,K}^{i,K} I_j^{(K)} \right], \quad i, k, j, K=0, 1. \quad (4)$$

Здесь

$$I_i^{(k)} = J_i^{(k)} \beta_{i,k}^{i,K}; \quad G_i^{(k)} = N_i^{(k)} \frac{\tau_f}{\tau_c}; \quad G_i^{(0(k))} = N_i^{(0(k))} \frac{\tau_f}{\tau_c};$$

$$a_i^{(k)} = \alpha_i^{(k)} \frac{\tau_f}{\tau_c}; \quad b_{i,k}^{i,K} = \frac{\beta_{i,k}^{i,K}}{\beta_{i,k}^{i,k}} (b_{i,k}^{i,k} = 1); \quad \tau = \frac{t}{\tau_c}; \quad e = \frac{\kappa}{\beta_{i,k}^{i,k}} \frac{\tau_f}{\tau_c}.$$

В дальнейшем мы будем стараться опускать один из индексов, где это возможно, чтобы не загромождать запись; естественно, это будет оговариваться. Анализ системы (3), (4) начнем со случая генерации одной моды.

1. Одномодовый режим. Зафиксируем i и k ; рассмотрим режим, при котором $I_i^{(k)} \neq 0$, а $I^{(K)} = 0$, если $j \neq i$ или $K \neq k$.

Из (3) и (4) легко найти, что

$$I_i^{(k)} = \sqrt{\frac{1}{4} (1 + a_i^{(k)}/ge)^2 + (G_i^{(0(k))} - a_i^{(k)})/ge - \frac{1}{2} (1 + a_i^{(k)}/ge)}.$$

Очевидно, одномодовый режим может существовать при $G_i^{(0(k))} > a_i^{(k)}$. Анализ системы (3), (4) на устойчивость по Ляпунову показал, что одномодовый режим устойчив к возникновению других мод, если

$$\frac{G_i^{(0(ka))}}{1 + b_{i,ka}^{i,k} I_i^{(k)}} - 2geI_i^{(k)} - a_i^{(ka)} < 0,$$

$$\frac{G_{ia}^{(0(K))}}{1 + b_{ia,K}^{i,k} I_i^{(k)}} - 2(1-g)eI_i^{(k)} - a_{ia}^{(K)} < 0.$$

Здесь и далее $ia=1-i$; $ka=1-k$.

2. Двухмодовый режим. Очевидно, генерируемые моды могут иметь как одинаковые, так и различные поляризации. Соответственно рассмотрим два случая.

а) Моды одной поляризации. Пусть $I_i^{(k)} \neq 0$; $I_i^{(ka)} \neq 0$; $I_{ia}^{(K)} = 0$, $K=0, 1$. Условимся считать потери и усиление нулевого сигнала одинаковыми для генерирующих мод: $a_i^{(k)} = a_i^{(ka)} = a_i$; $G_i^{(0(k))} = G_i^{(0(ka))} = G^0$.

Рассматриваемый двухмодовый режим может существовать при $G_i^0 > a_i$ и

$$I_i^{(k)} = I_i^{(ka)} = I_i =$$

$$= \frac{1}{6} \sqrt{[a_i/ge + 3/(1+\beta)]^2 + 12(G_i^0 - a_i)/(ge(1+\beta)) - a_i/ge - 3/(1+\beta)}.$$

Здесь введено обозначение $\beta = b_{i,ka}^{i,k}$ — коэффициент кросс-насыщения генерируемых мод.

Условия устойчивости такого двухмодового режима к возникновению новых мод имеют вид

$$\frac{G_{ia}^{0(K)}}{1 + (b_{ia,K}^{i,k} + b_{ia,K}^{i,ka}) I_i} - 4(1-g) e I_i - a_{ia}^{(K)} < 0, K=0, 1.$$

Условие устойчивости рассматриваемого режима к затуханию генерируемых мод имеет вид

$$I_i g e < 1 + (1 + \beta) I_i < (a_i / g e + 3 I_i) (1 - \beta).$$

б) *Моды разных поляризаций.* Будем для определенности считать номера мод (верхние индексы) одинаковыми.

Пусть $I_i^{(k)} \neq 0$; $I_{ia}^{(k)} \neq 0$; $I_j^{(ka)} = 0$, $j=0, 1$. Условимся считать $a_i^{(k)} = a_{ia}^{(k)} = a_k$; $G_i^{0(k)} = G_{ia}^{0(k)} = G_k^0$.

Выпишем условия существования рассматриваемого режима:

$$G_k^0 > a_k,$$

$$I_i^{(k)} = I_{ia}^{(k)} = I_k =$$

$$= \frac{1}{2} \sqrt{[a_k / [(2-g) e] + 1 / (1 + \beta_1)]^2 + 4 (G_k^0 - a_k) / (2-g) e (1 + \beta_1)} - a_k / [(2-g) e] - 1 / (1 + \beta_1),$$

где $\beta_1 \equiv b_{i,k}^{ia,k}$ — коэффициент кросс-насыщения генерируемых мод.

Теперь условие устойчивости к возникновению новых мод (с индексами j, ka) имеет вид

$$\frac{G_j^{0(ka)}}{1 + (b_{j,ka}^{i,k} + b_{j,ka}^{ia,k}) I_h} - 2 e I_k - a_j^{(ka)} < 0, j=0, 1.$$

Условия устойчивости к затуханию генерируемых мод имеют вид

$$g > \frac{2}{3} \frac{1 + (1 + \beta_1) I_k}{3 e I_k},$$

$$g > \frac{2}{3} \frac{(a_k + (2-g) e I_h) (1 - \beta_1)}{3 e (1 + (1 + \beta_1) I_k)}.$$

3. Трехмодовый режим. Из трех генерируемых мод, естественно, две будут иметь одинаковые поляризации: $I_i^{(k)} \neq 0$; $I_i^{(ka)} \neq 0$; $I_{ia}^{(k)} \neq 0$; $I_{ia}^{(ka)} = 0$.

Будем, как и при рассмотрении двухмодового режима в п. 2 (а), считать $G_i^{0(k)} = G_i^{0(ka)} = G_i^0$; $a_i^{(k)} = a_i^{(ka)} = a_i$.

Обозначим $G_{ia}^{0(k)} = G_a^0$, $a_{ia}^{(k)} = a_a$; $I_{ia}^{(k)} = I_a$.

Введем $\beta_1 = b_{i,K}^{ia,k}$, $K=0, 1$. Введенные обозначения коэффициентов кросс-насыщения поясняет «карта» коэффициентов кросс-насыщения (рис. 1).

Тогда имеем $I_i^{(k)} = I_i^{(ka)} = I_i$. Для удобства записи обозначим $I_{ia}^{(k)} = I_a$. Для I_i, I_a имеем систему

$$G_i^0 - [a_i + 3 g e I_i + 2 (1-g) e I_a] [1 + (1 + \beta) I_i + \beta_1 I_a] = 0,$$

$$G_a^0 - [a_a + g e I_a + 4 (1-g) e I_i] [1 + I_a + 2 \beta_1 I_i] = 0.$$

При численном решении полученной системы мы использовали комбинацию методов итераций и наискорейшего спуска.

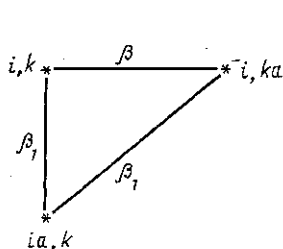


Рис. 1

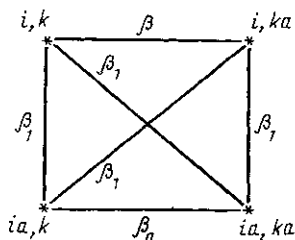


Рис. 2

В качестве начальных значений I_a и I_i выбирались их значения при близких β , β_1 , g и e , вычисленные ранее. При малых e в качестве начальных значений I_a и I_i выбирались их значения в отсутствие ВРГВГ ($e=0$):

$$I_i^{(0)} = \frac{(G_i^0/a_i - 1) - \beta_1 (G_a^0/a_a - 1)}{1 + \beta - 2\beta_1^2},$$

$$I_a^{(0)} = \frac{(G_a^0/a_a - 1) (1 + \beta) - 2\beta_1 (G_i^0/a_i - 1)}{1 + \beta - 2\beta_1^2}.$$

Условия устойчивости трехмодового режима к возникновению четвертой моды ($I_{ia}^{(ka)}$) имеют вид

$$\frac{G_{ia}^{0(ka)}}{1 + (b_{ia,ka}^{i,k} + b_{ia,ka}^{i,ka}) I_i + b_{ia,ka}^{ia,k} I_a} - 4(1-g)eI_i - 2geI_a - a_{ia}^{(ka)} < 0.$$

Условия устойчивости исследуемого режима к затуханию генерируемых мод имеют вид

$$geI_i < \frac{G_i^0}{G_i} < \frac{G_i}{ge} (1 - \beta), \quad c_0 > 0, \quad c_3 c_2 - c_1 > 0, \quad (c_3 c_2 - c_1) c_1 - c_3^2 c_0 > 0,$$

где

$$G_i = a_i + 3geI_i + 2(1-g)eI_a \quad (\text{стационарное значение } G_i^{(k)} \text{ и } G_i^{(ka)});$$

$$G_a = a_a + geI_a + 4(1-g)eI_i \quad (\text{стационарное значение } G_{ia}^{(k)});$$

$$c_0 = I_i I_a \left[\left(3ge \frac{G_i^0}{G_i} + G_i (1 + \beta) \right) \left(ge \frac{G_a^0}{G_a} + G_a \right) - \right. \\ \left. - \left(2(1-g)e \frac{G_a^0}{G_a} + G_a \beta_1 \right) \left(4(1-g)e \frac{G_i^0}{G_i} + 2G_i \beta_1 \right) \right];$$

$$c_1 = I_a \left(3geI_i + \frac{G_i^0}{G_i} \right) \left(ge \frac{G_a^0}{G_a} + G_a \right) + \\ + I_i \left(geI_a + \frac{G_a^0}{G_a} \right) \left(3ge \frac{G_i^0}{G_i} + G_i (1 + \beta) \right) -$$

$$-4I_i I_a (1-g) e \left[2(1-g) e \left(\frac{G_i^0}{G_i} + \frac{G_a^0}{G_a} \right) + (G_a + G_i) \beta_1 \right];$$

$$c_2 = \left(geI_a \frac{G_a^0}{G_a} + G_a I_a \right) + 3geI_i \frac{G_i^0}{G_i} + I_i G_i (1 + \beta) +$$

$$+ \left(3geI_i + \frac{G_i^0}{G_i} \right) \left(geI_a + \frac{G_a^0}{G_a} \right) - 8I_i I_a (1-g)^2 e^2;$$

$$c_3 = G_i^0/G_i + G_a^0/G_a + ge (I_a + 3I_i).$$

4. Четырехмодовый режим. Условимся обозначать коэффициенты кросс-насыщения согласно рис. 2.

Будем считать $G_i^{0(k)} = G_i^{0(ka)} = G_i^0$; $a_i^{(k)} = a_i^{(ka)} = a_i$; $G_{ia}^{0(k)} = G_{ia}^{0(ka)} = G_a^0$, $a_{ia}^{(k)} = a_{ia}^{(ka)} = a_a$.

Тогда $I_i^{(k)} = I_i^{(ka)} = I_i$; $I_{ia}^{(k)} = I_{ia}^{(ka)} = I_a$; I_i , I_a являются решениями системы:

$$G_i^0 - [a_i + 3geI_i + 4(1-g)eI_a] [1 + (1 + \beta)I_i + 2\beta_1 I_a] = 0,$$

$$G_a^0 - [a_a + 3geI_a + 4(1-g)eI_i] [1 + (1 + \beta)I_a + 2\beta_1 I_i] = 0.$$

При численных расчетах I_i и I_a вычислялись так же, как и в случае трехмодовой генерации; при малых e в качестве начальных значений выбирались I_i и I_a при $e=0$:

$$I_i^{(0)} = \frac{(G_i^0/a_i - 1)(1 + \beta_a) - 2\beta_1(G_a^0/a_a - 1)}{(1 + \beta)(1 + \beta_a) - 4\beta_1^2},$$

$$I_a^{(0)} = \frac{(G_a^0/a_a - 1)(1 + \beta) - 2\beta_1(G_i^0/a_i - 1)}{(1 + \beta)(1 + \beta_a) - 4\beta_1^2}.$$

Условия устойчивости четырехмодового режима к возникновению пятой моды имеют вид

$$\frac{G_i^{0(l)}}{1 + (b_{i,l}^{i,k} + b_{i,l}^{i,ka}) I_i + (b_{i,l}^{ia,k} + b_{i,l}^{ia,ka}) I_a} - 4(1-g)eI_a - 4geI_i - a_i^{(l)} < 0;$$

$$\frac{G_{ia}^{0(l)}}{1 + (b_{ia,l}^{i,k} + b_{ia,l}^{i,ka}) I_i + (b_{ia,l}^{ia,k} + b_{ia,l}^{ia,ka}) I_a} - 4(1-g)eI_i - 4geI_a - a_{ia}^{(l)} < 0.$$

Здесь $l=2, 3, \dots$

Условия устойчивости четырехмодового режима к затуханию генерируемых мод имеют вид

$$geI_i < \frac{G_i^0}{G_i} < \frac{G_i}{ge} (1 - \beta),$$

$$geI_a < \frac{G_a^0}{G_a} < \frac{G_a}{ge} (1 - \beta_a),$$

$$c_0 > 0,$$

$$c_3 c_2 - c_1 > 0,$$

$$(c_3 c_2 - c_1) c_1 - c_3^2 c_0 > 0,$$

где

$$G_i = a_i + 3geI_i + 4(1-g)eI_a;$$

$$G_a = a_a + 3geI_a + 4(1-g)eI_i;$$

$$c_0 = I_i I_a \left[\left(3ge \frac{G_i^0}{G_i} + G_i (1 + \beta) \right) \left(3ge \frac{G_a^0}{G_a} + G_a (1 + \beta_a) \right) - \right. \\ \left. - \left(4(1-g)e \frac{G_i^0}{G_i} + 2G_i \beta_1 \right) \left(4(1-g)e \frac{G_a^0}{G_a} + 2G_a \beta_1 \right) \right];$$

$$c_1 = I_a \left(3geI_i + \frac{G_i^0}{G_i} \right) \left(3ge \frac{G_a^0}{G_a} + G_a (1 + \beta_a) \right) + \\ + I_i \left(3geI_a + \frac{G_a^0}{G_a} \right) \left(3ge \frac{G_i^0}{G_i} + G_i (1 + \beta) \right) - \\ - 8I_i I_a (1-g)e \left[2(1-g)e \left(\frac{G_i^0}{G_i} + \frac{G_a^0}{G_a} \right) + (G_a + G_i) \beta_1 \right];$$

$$c_2 = 3ge \left(I_a \frac{G_a^0}{G_a} + I_i \frac{G_i^0}{G_i} \right) + I_i G_i (1 + \beta) + I_a G_a (1 + \beta_a) + \\ + \left(3geI_i + \frac{G_i^0}{G_i} \right) \left(3geI_a + \frac{G_a^0}{G_a} \right) - 16I_i I_a (1-g)^3 e^2;$$

$$c_3 = G_i^0/G_i + G_a^0/G_a + 3ge(I_a + I_i).$$

Численные расчеты

По полученным выше формулам был проведен расчет областей устойчивости рассмотренных стационарных режимов. На рис. 3 представлены результаты таких расчетов при $a_i^{(k)} = 7200$; $G_i^{(k)} = 10^3$; $i, k = 0, 1$, $\beta = \beta_a = 0,7$, $\beta_1 = 0,85$.

В области с косой штриховкой устойчив стационарный режим генерации двух мод одинаковых поляризаций. В области с вертикальной штриховкой устойчив стационарный четырехмодовый режим. В оставшейся части рисунка не устойчив ни один из рассмотренных выше стационарных режимов.

Численное решение системы (3), (4) методом Рунге—Кутта подтвердило правильность результатов проведенного анализа.

В области, расположенной над областью устойчивости двухмодового режима ($g < 0,57$), наблюдался двухмодовый режим противофазной модуляции интенсивностей волн.

В области, расположенной над областью устойчивости стационарного четырехмодового режима ($g > 0,57$) наблюдался нестационарный

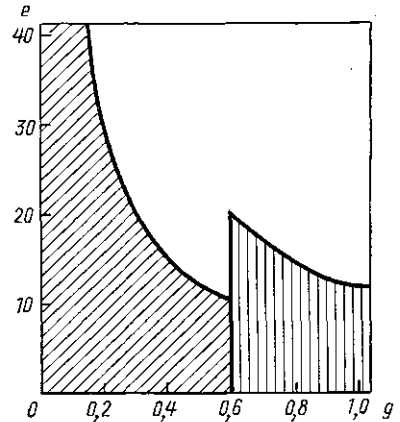


Рис. 3

режим генерации четырех мод. Характерный вид колебаний интенсивностей мод в этом режиме при $g=0,6$, $e=25$ представлен на рис. 4.

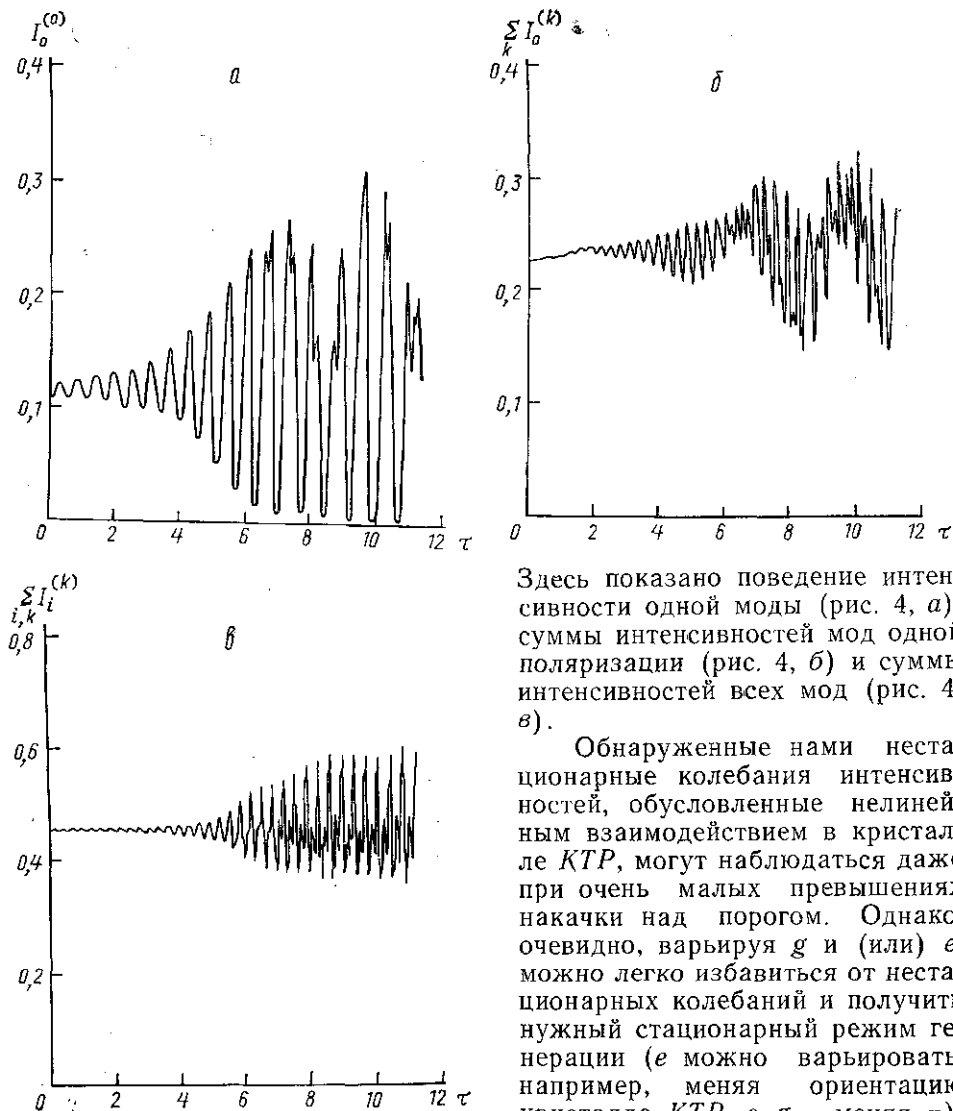


Рис. 4

Заключение

Проведенные аналитические и численные исследования влияния ВРГВГ на характер многомодовых режимов генерации в лазере с анизотропным резонатором показали следующее. Генерация в нелинейном кристалле суммарных частот в общем случае усиливает конкуренцию продольных мод лазера, что приводит к увеличению устойчивости одночастотных режимов генерации. При этом могут наблюдаться мультистабильные режимы. Бистабильность обязательно имеет место, если линейные потери и коэффициенты усиления нулевого сигнала одинаковы для всех мод. В частности, легко видеть, что в этом случае одновременно могут быть устойчивы одночастотные режимы с различ-

Здесь показано поведение интенсивности одной моды (рис. 4, а), суммы интенсивностей мод одной поляризации (рис. 4, б) и суммы интенсивностей всех мод (рис. 4, в).

Обнаруженные нами нестационарные колебания интенсивностей, обусловленные нелинейным взаимодействием в кристалле КТР, могут наблюдаться даже при очень малых превышениях накачки над порогом. Однако, очевидно, варьируя g и (или) e , можно легко избавиться от нестационарных колебаний и получить нужный стационарный режим генерации (e можно варьировать, например, меняя ориентацию кристалла КТР, а g — меняя φ).

ной поляризацией. Бистабильными являются и все двухмодовые режимы: область устойчивости режима генерации двух мод одной поляризации совпадает с областью устойчивости режима генерации двух мод другой поляризации; область устойчивости режима генерации двух мод разных поляризаций с одинаковым продольным индексом (k) совпадает с областью устойчивости режима генерации двух мод разных поляризаций с другим продольным индексом ($k+i$). Легко видеть, что бистабильными являются и трехмодовые режимы. При наложении областей устойчивости режимов с различным количеством генерируемых мод (чаще всего двухмодовых и четырехмодовых) наблюдается мультистабильность. Наибольшая область поляризационной бистабильности наблюдается, когда максимальна эффективность генерации суммарной частоты модами разных поляризаций ($y=0$), а генерация суммарной частоты модами одной поляризации отсутствует (при этом отсутствует и генерация удвоенной частоты от каждой отдельной моды). В этой области могут быть устойчивы двухмодовые режимы с совпадающими поляризациями генерирующих мод.

Установлено, что наименее устойчивым является трехмодовый режим генерации.

При увеличении эффективности преобразования во вторую гармонику устойчивые стационарные многомодовые режимы генерации переходят в нестационарные. При этом стационарные двухмодовые режимы генерации переходят в режим периодических переключений генерирующих мод, а стационарные четырехмодовые режимы переходят в режим пульсаций интенсивности излучения.

ЛИТЕРАТУРА

- [1] Kane T. J., Byer R. L. // Opt. Lett. 1985. 10. P. 65. [2] Kane T. J., Nilson A. C., Byer R. L. // Opt. Lett. 1987. 12. P. 175. [3] Trutna W. R., Donald D. K., Jr., Nazarathy M. // Opt. Lett. 1987. 12. P. 248. [4] Гарбузов Д. З., Дедыш В. В., Кочергин А. В. и др. // Изв. АН СССР, сер. физ. 1990. 54. С. 2397. [5] Барышев С. А., Белозеров С. А., Билак В. И. и др. // Квант. электроника. 1987. 14. С. 1748. [6] Baer T. // J. Opt. Soc. Am. 1986. B3, N 9. P. 1175. [7] Oka M., Kubota S. // Opt. Lett. 1988. 13. P. 805. [8] Forrest G. T. // Laser Focus. 1987. N 11. P. 62. [9] James G. E., Hargrell E. M. II // Phys. Rev. 1990. A41, N 5. P. 2778. [10] Викторов Е. А., Витришак И. Б., Новиков Г. Е. и др. // Изв. АН СССР, сер. физ. 1990. 54. С. 2388. [11] Наний О. Е., Селунский А. Б. // Матер. Всесоюз. конф. «Физика и применение твердотельных лазеров». 1990. С. 24. [12] Доценко А. В., Корниенко Л. С., Кравцов Н. В. и др. // ДАН СССР. 1980. 255, № 2. С. 399. [13] Корниенко Л. С., Кравцов Н. В., Наний О. Е. // Тез. докл. XIV Междунар. конф. по когерент. и нелинейн. оптике. Л., 1991. Ч. 2. С. 63.

Поступила в редакцию
18.06.92

ВЕСТН. МОСК. УН-ТА. СЕР. 3, ФИЗИКА. АСТРОНОМИЯ. 1993. Т. 34, № 4

АКУСТИКА И МОЛЕКУЛЯРНАЯ ФИЗИКА

УДК 534.222

НАБЛЮДЕНИЕ НЕЛИНЕЙНОЙ ЭВОЛЮЦИИ АКУСТИЧЕСКИХ ИМПУЛЬСОВ В ОТСУТСТВИЕ ДИФРАКЦИИ

А. Н. Дубровский, О. А. Сапожников

(кафедра акустики)

Приводятся результаты экспериментов, в которых нелинейная эволюция акустических импульсов наблюдалась в специально выбранных условиях, практически исключающих влияние дифракции. Для генерации акустических импульсов был использован оптоакустический способ, который позволяет получать короткие мощные им-